

Optimización en la asignación de vacunas en centros de salud mediante una API RESTful basada en el algoritmo de búsqueda de Péndulo

Carlos Alfredo Castillo Rodriguez
Facultad de Ingeniería, ciencia y tecnología
Universidad Bernardo O'higgins
Santiago, Chile
castilloc@postgrado.ubo.cl

Resumen—

En los últimos años, existen evidencias de desabastecimiento de medicamentos en países subdesarrollados y en vías de desarrollo, por razones principalmente políticas o climáticas. Dicho desabastecimiento genera consecuencias negativas en la salud de la población. En especial en América Latina, la falta de vacunas ha sido la principal dificultad para ampliar la cobertura de vacunación, debido a la alta dependencia de las importaciones de medicamentos y materias primas para el desarrollo de tecnologías. Lograr minimizar la falta de medicamentos es esencial para garantizar el derecho a la salud de las personas y fortalecer los programas de prevención y control de enfermedades.

Cuando se habla de problemas de optimización, a menudo implican minimizar o maximizar recursos tales como pérdidas o ganancias. Estos problemas son usualmente complejos y una solución con algoritmos de optimización exactos es de alto costo computacional.

Este trabajo tiene como objetivo proponer una solución para optimizar la distribución de medicamentos en centros de salud utilizando un algoritmo de búsqueda del péndulo implementado en una API Restful con Node.js y MongoDB. La solución propuesta se enfoca en la utilización de la metaheurística como método de optimización y la implementación de una aplicación web que permita a los usuarios realizar la optimización de manera eficiente y efectiva. Se basó en una revisión bibliográfica exhaustiva de los algoritmos metaheurísticos y su aplicación en la optimización de la distribución de medicamentos en centros de salud. Se estudió en profundidad el algoritmo de búsqueda del péndulo y se propuso su implementación en una API Restful utilizando Node.js y MongoDB para la optimización de la distribución de medicamentos.

La propuesta de solución presentada podría ser una alternativa viable y efectiva para resolver el problema de la distribución de medicamentos en centros de salud. La utilización de la metaheurística como método de optimización permitiría encontrar soluciones óptimas en tiempos razonables y con costos computacionales acotados. Además, la implementación de una API Restful utilizando Node.js y MongoDB permitiría una fácil integración con otras aplicaciones y sistemas existentes.

En resumen, se propone una solución para optimizar la distribución de medicamentos en centros de salud utilizando un algoritmo de búsqueda del Péndulo implementado en una API Restful con Node.js y MongoDB. La solución propuesta se enfoca en la utilización de la metaheurística como método de optimización y la implementación de una aplicación web eficiente y efectiva.

Palabras clave APIs Restful, Metaheurísticas, NodeJS, MongoDB, Optimización, Vacunas

I. INTRODUCCIÓN

Este trabajo se centra en abordar la creciente crisis de la escasez de medicamentos esenciales en todo el mundo, la cual ha llevado a malos resultados sanitarios y al uso inapropiado de medicamentos. El suministro insuficiente en sistemas de salud, evidente especialmente en América Latina y el Caribe, impide satisfacer las necesidades de salud pública y de los pacientes [1].

El objetivo de este trabajo es implementar una solución de software basada en algoritmos metaheurísticos, particularmente el algoritmo de búsqueda del péndulo, para optimizar la distribución de medicamentos en los centros de salud. La propuesta es desarrollar una API RESTful utilizando Node.js y MongoDB que implemente este algoritmo, con el fin de proporcionar una solución que busque la distribución óptima en tiempos razonables y con costos computacionales acotados.

En el ámbito de la distribución de medicamentos, la optimización juega un papel fundamental para mejorar la eficiencia y disponibilidad en los centros de salud. Para abordar este problema, se han utilizado modelos matemáticos y algoritmos computacionales, entre ellos los algoritmos metaheurísticos, que proporcionan soluciones aproximadas a problemas complejos de optimización combinatoria.

En este contexto, este trabajo tiene como objetivo desarrollar una solución de software basada en metaheurísticas para optimizar la distribución de medicamentos en centros de salud. Se propone la implementación del algoritmo de Búsqueda del péndulo en una API RESTful utilizando Node.js y MongoDB. Además, se plantea el desarrollo de una aplicación web que utilice esta API para que los usuarios puedan realizar la optimización de la distribución de medicamentos de manera eficiente y efectiva, considerando la factibilidad y viabilidad del modelo propuesto en la situación actual de Chile.

Los objetivos específicos de este trabajo son los siguientes:

- 1) Estudiar a fondo el algoritmo de búsqueda del péndulo y entender su implementación y parámetros necesarios.

- 2) Implementar una API RESTful que incluya la implementación del algoritmo para la optimización de la distribución de medicamentos en centros de salud.
- 3) Realizar pruebas y evaluaciones del algoritmo en la API en diferentes escenarios de distribución de medicamentos para validar su eficacia y eficiencia.
- 4) Generar una interfaz visual con Swagger para facilitar el uso de la API por parte de los usuarios.
- 5) Evaluar la factibilidad y viabilidad de la aplicación web desarrollada, teniendo en cuenta aspectos como la escalabilidad, seguridad, usabilidad y costos.

II. MARCO TEÓRICO

A. Metaheurística

En términos generales, una metaheurística es una técnica de optimización que se utiliza para resolver problemas combinatorios complejos en los que el número de posibles soluciones es muy grande. Las metaheurísticas son algoritmos de propósito general que se basan en principios heurísticos y estrategias de búsqueda no deterministas para encontrar soluciones óptimas o subóptimas en un tiempo razonable.

A diferencia de los algoritmos de búsqueda exacta, que garantizan la obtención de la solución óptima en un tiempo finito, pero pueden ser demasiado costosos computacionalmente para problemas grandes, las metaheurísticas no garantizan la solución óptima, pero son capaces de encontrar soluciones aceptables en tiempos mucho más cortos.

Una metaheurística es un marco algorítmico de alto nivel e independiente del problema que proporciona un conjunto de directrices o estrategias para desarrollar algoritmos de optimización heurísticos. Son una alternativa viable, y a menudo superior, a los métodos más tradicionales de optimización mixta-entera, como la ramificación y acotación y la programación dinámica. Especialmente para problemas complicados o instancias de problemas grandes, las metaheurísticas suelen ofrecer una mejor relación entre la calidad de la solución y el tiempo de cómputo. Además, las metaheurísticas son más flexibles que los métodos exactos en dos aspectos importantes. En primer lugar, debido a que los marcos metaheurísticos están definidos en términos generales, los algoritmos metaheurísticos pueden adaptarse a las necesidades de la mayoría de los problemas de optimización de la vida real en términos de calidad de solución esperada y tiempo de cómputo permitido, que pueden variar ampliamente entre diferentes problemas y situaciones diferentes. En segundo lugar, las metaheurísticas no imponen ninguna exigencia sobre la formulación del problema de optimización (como requerir que las restricciones o las funciones objetivo se expresen como funciones lineales de las variables de decisión). Sin embargo, esta flexibilidad requiere una considerable adaptación específica del problema para lograr un buen rendimiento [2].

Un peso de inercia decreciente con el tiempo es un ejemplo de un mecanismo adoptado con frecuencia por los investigadores para controlar el comportamiento de los agentes y favorecer la exploración al inicio de la búsqueda antes de cambiar a la explotación [3]–[5]. El peso de inercia decreciente

con el tiempo reduce el tamaño del paso a medida que aumenta la iteración. Entre los patrones comunes aplicados por los investigadores se encuentran el peso de inercia decreciente linealmente y el peso de inercia decreciente exponencialmente [4].

B. Node.js

Node.js es un entorno de ejecución de código abierto que permite la programación del lado del servidor utilizando JavaScript. Proporciona un modelo de programación basado en eventos y un sistema de gestión de paquetes integrado, facilitando el desarrollo de aplicaciones escalables y de alta concurrencia [6].

C. MongoDB

MongoDB es un sistema de gestión de bases de datos NoSQL orientado a documentos que proporciona un alto rendimiento de lectura y escritura. Utiliza un formato similar a JSON llamado BSON, que se adapta naturalmente a las metodologías de programación orientadas a objetos. Soporta consultas complejas y ofrece características como fragmentación automática y replicación [7].

D. JSON Web Tokens (JWT)

Los JSON Web Tokens son un mecanismo de autenticación y autorización que codifica un conjunto de afirmaciones como un objeto JSON en una estructura. Se utilizan en aplicaciones web para mantener a los usuarios autenticados y autorizados durante su sesión [8].

E. RESTful API

Las APIs RESTful son interfaces de programación basadas en HTTP que permiten la creación, lectura, actualización y eliminación de recursos. Se utilizan en el diseño de microservicios y admiten la interoperabilidad y la WWW. Los principios de REST, como la interfaz uniforme y la identificación de recursos, permiten una arquitectura simple y escalable [9].

F. Algoritmo de búsqueda del péndulo

El movimiento armónico del péndulo que oscila centrado en un punto pivote se imita en este algoritmo. Donde la amplitud del movimiento armónico en ambos lados del pivote es igual, va amortiguándose y disminuyéndose con el tiempo. Este comportamiento es imitado por los agentes del algoritmo de búsqueda del péndulo para moverse y buscar una solución de optimización dentro de un área de búsqueda. La alta amplitud al principio fomenta la exploración y amplía el área de búsqueda, mientras que mientras que la baja amplitud hacia el final fomenta el ajuste fino y la explotación. [10]. El movimiento armónico del péndulo amortiguado es la inspiración del algoritmo. El peso oscila de un lado a otro, mientras que la amplitud de la oscilación disminuye con el tiempo hasta que se alcanza el equilibrio. La resistencia del aire amortigua y desacelera el movimiento del péndulo. [10].

La imagen 1 ilustra un péndulo oscilante colgado de una cuerda y su típica oscilación armónica.

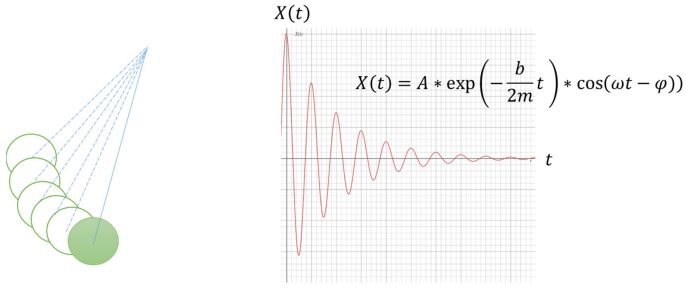


Fig. 1. Movimiento armonico del péndulo. [10]

Según [10] La ecuación de la oscilación armónica se muestra en la formula 1, es una ecuación de movimiento armónico simple amortiguado, donde:

- 1) $X(t)$ es la posición del objeto en función del tiempo.
- 2) A es la amplitud de la oscilación, que representa la distancia máxima que el objeto se desplaza desde su posición de equilibrio.
- 3) b es el coeficiente de amortiguamiento, que determina la rapidez con que se desvanece la amplitud de la oscilación debido al rozamiento del objeto con el medio en el que se encuentra.
- 4) m es la masa del objeto en movimiento.
- 5) t es el tiempo transcurrido desde el inicio del movimiento.
- 6) ω es la frecuencia angular, que determina la velocidad a la que se mueve el objeto en función del tiempo.
- 7) ϕ es la fase inicial de la oscilación, que representa el desfase entre el movimiento y su punto de partida.

La ecuación es:

$$X(t) = A \cdot e^{-\frac{b}{2m} \cdot t} \cdot \cos(\omega t - \phi) \quad (1)$$

El movimiento armónico del péndulo es elegido aquí para controlar el paso de búsqueda de los agentes del algoritmo debido al patrón oscilante observado. Este patrón que se expande y se contrae alternadamente mientras disminuye la amplitud a lo largo del tiempo es deseable. Se predice que este comportamiento apoyará la exploración de los agentes al principio, y será equilibrado por la explotación a medida que avance la búsqueda. El algoritmo presentado es una metaheurística basada en población, donde la búsqueda de la solución óptima es manejada por un grupo de agentes. Cada uno de los agentes, actúa como un péndulo, con parámetros independientes. Ellos se mueven alrededor del espacio de búsqueda, buscando el punto de solución óptimo, impulsado por el movimiento del péndulo, que se centra alrededor de su propia posición actual.

La posición del agente es calculada por medio de la siguiente ecuación [10]:

$$P_i^d(t) = P_i^d(t-1) + \text{pend}_i^d(t) \cdot (\text{Best}^d - P_i^d(t-1)) \quad (2)$$

Donde $P_i^d(t)$ representa la posición del agente i en la dimensión d en el tiempo t mientras que Best^d representa

la mejor solución encontrada desde el inicio de la búsqueda en toda la población. El agente se acerca o se aleja de la mejor solución en función de pend_i^d . Este último es un valor numérico aleatorio, con la amplitud máxima que oscila obedeciendo la ecuación armónica del péndulo. Todos los agentes tienen un pend_i^d diferente y es calculado por medio de la siguiente ecuación. [10]:

$$\text{pend}_i^d(t) = 2 \exp\left(-\frac{t}{t_{\max}} \cos(2\pi \cdot \text{rand})\right) \quad (3)$$

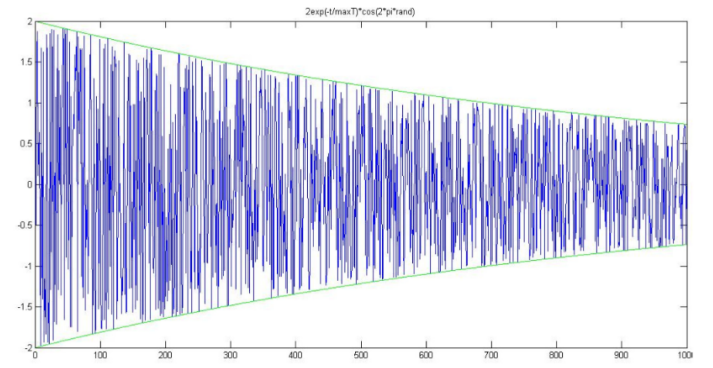


Fig. 2. Magnitud de oscilaciones de $\text{pend}_i^d(t)$. [10]

Esta ecuación imita la ecuación armónica, t_{\max} es el número máximo de iteraciones, y rand es un número aleatorio proveniente de una distribución uniforme. La amplitud máxima de desplazamiento 2 se elige de tal manera que la exploración sea favorecida durante las primeras iteraciones. Una vez que $\text{pend}_i^d(t)$ está por debajo de 1, los agentes cambian a favorecer la explotación. Además, $\text{pend}_i^d(t)$ oscila entre el rango positivo y negativo. Un valor positivo de $\text{pend}_i^d(t)$ anima a un agente a moverse hacia la dirección de la mejor solución, mientras que un $\text{pend}_i^d(t)$ negativo impulsa a los agentes en la dirección opuesta de la mejor solución [10].

Solo se emplean dos ecuaciones matemáticas simples en el algoritmo de búsqueda del péndulo con dos parámetros a seleccionar, el número de agentes y el número máximo de iteraciones. Esto hace que sea un algoritmo de optimización muy simple con bajo costo computacional [10].

El pseudocódigo del algoritmo es mostrado en la siguiente tabla:

Paso	Acción
1	Inicializar aleatoriamente los parámetros y las posiciones de los agentes.
2	Para $i = 1$ hasta el número máximo de iteraciones:
3	Para cada agente:
4	Actualizar el agente usando la ecuación (1) y (2).
5	Evaluar el valor de aptitud del agente.
6	Fin del ciclo para cada agente.
7	Identificar el mejor agente.
8	Fin del ciclo para i .
9	Solución: mejor agente.

Tabla I
PSEUDOCÓDIGO DEL ALGORITMO DE BÚSQUEDA DEL PÉNDULO.

III. RESULTADOS

A. Optimización de Problemas Benchmark

Según [10] El rendimiento del algoritmo de búsqueda del péndulo propuesto se estudia utilizando 13 funciones multimodales del conjunto de pruebas de referencia CEC2014, funciones 4–16. Estas funciones son problemas de minimización que se desplazan y rotan desde sus funciones básicas originales. El desplazamiento y la rotación evitan el problema del sesgo de origen. Las funciones multimodales tienen muchos óptimos locales y un óptimo global final. Las funciones multimodales son adecuadas para observar si un algoritmo es capaz de realizar y evitar la convergencia prematura o no, así como para observar la capacidad de exploración y explotación del algoritmo. Por lo tanto, solo se adoptan aquí las 14 funciones multimodales. Los nombres y la idoneidad ideal de las funciones se enumeran en la Tabla 1; otros detalles de las 13 funciones de referencia, como sus funciones matemáticas, se pueden encontrar en [11].

Nombre de la Función	Aptitud Ideal
f4: Shifted and Rotated Rosenbrock's Function	400
f5: Shifted and Rotated Ackley's Function	500
f6: Shifted and Rotated Weierstrass Function	600
f7: Shifted and Rotated Griewank's Function	700
f8: Shifted Rastrigin's Function	800
f9: Shifted and Rotated Rastrigin's Function	900
f10: Shifted Schwefel's Function	1000
f11: Shifted and Rotated Schwefel's Function	1100
f12: Shifted and Rotated Katsuura Function	1200
f13: Shifted and Rotated HappyCat Function	1300
f14: Shifted and Rotated HGBat Function	1400
f15: Shifted and Rotated Expanded Griewank's plus Rosenbrock's Function	1500
f16: Shifted and Rotated Expanded Scaffer's F6 Function	1600

Tabla II

NOMBRES DE LAS FUNCIONES Y SU APTITUD IDEAL.

B. Número de Agentes

Según [10] Solo hay dos parámetros que seleccionar para el algoritmo de búsqueda del péndulo. El primero es el número de iteraciones. Este está relacionado con la capacidad computacional de la plataforma de cálculo y la complejidad de los problemas. Por tanto, para este experimento, el número de iteraciones se establece en 1000. El segundo parámetro es el número de agentes. En esta sección se investiga el efecto del número de agentes. Los números de agentes probados son 10, 20, 30, 40 y 50. Todos los ajustes se ejecutan 30 veces; los mejores resultados de la ejecución se tabulan en la Tabla 3. Dado que las funciones de referencia son problemas de minimización, los mejores resultados son el valor mínimo de las 30 ejecuciones de cada configuración. Se puede observar que no hay un número de agentes que funcione mejor para todas las funciones de prueba. Sin embargo, el número de agentes igual a 50 obtuvo un mayor número de mejores resultados en comparación con los demás.

El test de rango con signo de Friedman de $1 \times N$ se realiza entonces para identificar el mejor número de agentes utilizando este conjunto de funciones de referencia. El test de rango con

Nombre de la Función	Número de Agentes				
	10	20	30	40	50
f4	400.0557	400.0003	400.001	400.0008	400.0013
f5	519.997	519.996	519.9923	519.983	519.9913
f6	601.5922	601.0678	600.3217	600.3587	600.0771
f7	700.0595	700.027	700.0418	700.0591	700.0517
f8	801.9904	800	800	800	800
f9	905.9708	905.9698	904.9748	905.9698	904.9748
f10	1007.031	1000.375	1000.25	1003.602	1000.25
f11	1247.431	1226.78	1140.238	1222.493	1131.949
f12	1200.059	1200.006	1200.012	1200.01	1200.017
f13	1300.138	1300.132	1300.1	1300.043	1300.137
f14	1400.171	1400.144	1400.123	1400.079	1400.052
f15	1500.94	1500.575	1500.499	1500.578	1500.417
f16	1602.263	1602.072	1602.032	1601.511	1601.108
Friedman Rank	5	2.9615	2.3462	2.5769	2.1154

Tabla III

RESULTADOS DE LAS FUNCIONES CON DIFERENTES NÚMEROS DE AGENTES

signo de Friedman es un método estadístico comúnmente utilizado para proporcionar un análisis imparcial del rendimiento de las metaheurísticas [12]–[14]. Cuanto menor sea el rango de Friedman de un algoritmo, mejor será el algoritmo. Un test de $1 \times N$ compara el algoritmo mejor clasificado con los demás algoritmos. Si el valor estadístico de Friedman, que se distribuye de acuerdo a χ^2 con $k-1$ grados de libertad, donde k es el número de prueba (aquí $k = 5$, es decir, 5 número de agentes probados), tiene un valor p menor que el nivel de significancia adoptado, α , entonces se rechaza la hipótesis nula que afirma que todos los ajustes probados están a la par entre sí. Para identificar la diferencia significativa, se adopta un procedimiento post-hoc conocido como procedimiento post-hoc de Holm. En este trabajo, se adopta $\alpha = 0.05$. Además de 0.05, 0.1 también es comúnmente usado por los investigadores. Cuanto menor sea el valor, más estricto será el test estadístico en la aceptación de la hipótesis nula.

Según [10] para el algoritmo de búsqueda del péndulo, se realiza el test estadístico utilizando Knowledge Extraction based on Evolutionary Learning (KEEL), que es una herramienta de código abierto con módulos de análisis estadístico [12]–[14]. KEEL es un software amigable para el usuario desarrollado por un grupo de investigadores para fines de investigación y académicos [12]–[14].

Los rangos de Friedman se muestran en la última fila de la Tabla 3. El valor estadístico de Friedman (distribuido de acuerdo con χ^2 con 4 grados de libertad) es 28.030769 y su valor p es 0.000012, que es menor que un nivel de significancia de 0.05. Por lo tanto, existe una diferencia significativa entre los cinco ajustes. El post-hoc de Holm se utiliza para determinar qué ajuste es igual o peor que el número de agentes mejor clasificado. La Tabla 3 muestra el valor p y el valor de Holm del test post-hoc. El procedimiento de Holm rechaza aquellas hipótesis que tienen un valor p ; Holm. Por lo tanto, un número de agentes igual a 10 es significativamente peor que 50, y los demás están a la par entre sí. Por lo tanto, se puede concluir que se recomienda un número de agentes superior a 20 para el algoritmo de búsqueda del péndulo.

Según [10] la imagen 3 ilustra aún más los resultados del experimento. Los resultados se convierten en valores de error para una mejor representación gráfica. El valor del error es

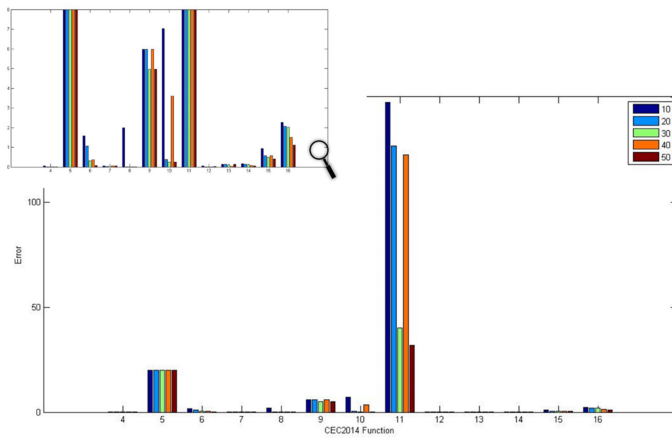


Fig. 3. Error de aptitud de las funciones de referencia con diferente número de agentes [10]

la diferencia entre la aptitud de la solución encontrada y la aptitud ideal. En la parte superior izquierda de la figura se encuentra un acercamiento del gráfico. Similar a lo que se observa en la Tabla 2, se puede ver que el número de agentes igual a 50 proporciona el menor error en la mayoría de las funciones, pero no en todas las funciones.

IV. TRABAJOS RELACIONADOS

El trabajo mas relacionado con este trabajo es el algoritmo metaheurístico de seno-coseno, el cual se utiliza para guiar la búsqueda de la solución óptima fluctuando alrededor de la mejor solución. Para garantizar la convergencia, dicho algoritmo envuelve la función seno y coseno usando una función decreciente lineal reflejada por el eje del tiempo. Sin embargo, a pesar de la fluctuación y el sobre del decrecimiento lineal, tanto [15] como [16] enumeran la convergencia prematura como la desventaja de SCA. Además, [17] destacó que las ecuaciones de actualización de la solución de SCA resultan en un sesgo hacia el origen, lo que hace que SCA funcione muy bien para problemas de optimización donde la solución global se encuentra en el origen. El rendimiento disminuye con los problemas desplazados. Se necesitan tres números aleatorios en SCA.

El trabajo de [10] imita un fenómeno físico, a saber, el movimiento armónico de un péndulo, para mover a los agentes de búsqueda de manera que se logre una solución óptima. A diferencia de SCA, el movimiento armónico del péndulo disminuye con la función exponencial. Se ha observado que la función exponencial proporciona un buen equilibrio entre exploración y explotación en metaheurísticas [18], [19]. Los agentes de algoritmo de búsqueda del péndulo no seleccionan aleatoriamente entre las funciones seno y coseno; más bien, siguen la función de movimiento armónico. La función de movimiento armónico determina el límite máximo para los números aleatorios que controlan la búsqueda estocástica de los agentes del algoritmo de búsqueda del péndulo, con respecto a la solución actual y la mejor solución.

V. CONCLUSIONES

En este trabajo se presentó una propuesta de solución para optimizar la distribución de medicamentos en centros de salud mediante la implementación de un algoritmo de búsqueda del péndulo en una API Restful utilizando Node.js y MongoDB. La solución propuesta se centró en la utilización de la metaheurística como método de optimización y en la implementación de una aplicación web que permita a los usuarios realizar la optimización de la distribución de medicamentos de manera eficiente y efectiva. Se realizó una revisión bibliográfica exhaustiva sobre los algoritmos metaheurísticos y su aplicación en la optimización de la distribución de medicamentos en centros de salud. Se estudió en profundidad el algoritmo de Búsqueda del péndulo y se propone su implementación en una API Restful utilizando Node.js y MongoDB para la optimización de la distribución de medicamentos. La propuesta de solución presentada en este anteproyecto podría ser una alternativa viable y efectiva para resolver el problema de la distribución de medicamentos en centros de salud. La utilización de la metaheurística como método de optimización permitiría encontrar soluciones óptimas en tiempos razonables y con costos computacionales acotados. Además, la implementación de una API Restful utilizando Node.js y MongoDB permitiría una fácil integración con otras aplicaciones y sistemas existentes. La propuesta presentada puede ser una alternativa efectiva para optimizar la distribución de medicamentos en centros de salud. Se espera que este trabajo sirva como una base sólida para futuros estudios y desarrollos en este campo.

REFERENCIAS

- [1] O. M. de la Salud, "La escasez mundial de medicamentos y la seguridad y accesibilidad de los medicamentos pediátricos (punto 16.4 del orden del día provisional de la 68.a asamblea mundial de la salud)," <https://apps.who.int/iris/handle/10665/253082>, 03 2016.
- [2] K. Sörensen and F. Glover, "Metaheuristics," <https://onlinelibrary.wiley.com/doi/full/10.1111/itor.12001>, 2010.
- [3] R. Eberhart and Y. Shi, "Comparing inertia weights and constriction factors in particle swarm optimization," in *Proceedings of the 2000 Congress on Evolutionary Computation*, 2000, pp. 84–88. [Online]. Available: <https://ieeexplore.ieee.org/abstract/document/870279>
- [4] J. Bansal, P. Singh, M. Saraswat, A. Verma, S. Jadon, and A. Abraham, "Inertia weight strategies in particle swarm optimization," in *Proceedings of the 2011 Third World Congress on Nature and Biologically Inspired Computing*, 2011, pp. 633–640. [Online]. Available: <https://ieeexplore.ieee.org/abstract/document/6089659>
- [5] N. Elkhateeb and R. Badr, "Employing artificial bee colony with dynamic inertia weight for optimal tuning of pid controller," in *Proceedings of the 2013 5th International Conference on Modelling, Identification and Control (ICMIC)*, 2013, pp. 42–46. [Online]. Available: <https://ieeexplore.ieee.org/abstract/document/6642220>
- [6] H. Shah and T. R. Soomro, "Node.js challenges in implementation," <https://computerresearch.org/index.php/computer/article/view/1735>, 2017.
- [7] H. Krishnan, M. S. Elayidom, and T. Santhanakrishnan, "Mongodb – a comparison with nosql databases," <https://www.ijser.org/researchpaper/MongoDB-a-comparison-with-NoSQL-databases.pdf>, 2016.
- [8] M. Jones, J. Bradley, and N. Sakimura, "Json web token (jwt)," Internet Engineering Task Force (IETF), May 2015, rFC 7519. [Online]. Available: <https://www.rfc-editor.org/rfc/pdf/rfc7519.txt.pdf>
- [9] A. Ehsan, M. A. M. E. Abuhaliqa, C. Catal, and D. Mishra, "Restful api testing methodologies: Rationale, challenges, and solution directions," *Applied Sciences*, vol. 12, no. 9, p. 4369, 2022.

- [10] N. A. A. Aziz and K. A. Aziz, "Pendulum search algorithm: An optimization algorithm based on simple harmonic motion and its application for a vaccine distribution problem," 2022.
- [11] J. J. Liang, B. Y. Qu, and P. N. Suganthan, "Problem definitions and evaluation criteria for the cec 2014 special session and competition on single objective real-parameter numerical optimization," Zhengzhou University; Nanyang Technological University, Zhengzhou, China; Singapore, Tech. Rep., 2013.
- [12] J. Alcalá-Fdez, L. Sánchez, S. García, M. del Jesus, S. Ventura, J. Garrell, J. Otero, C. Romero, J. Bacardit, V. Rivas *et al.*, "Keel: A software tool to assess evolutionary algorithms for data mining problems," *Soft Comput.*, vol. 13, pp. 307–318, 2009.
- [13] I. Triguero, S. González, J. Moyano, S. García, J. Alcalá-Fdez, J. Luengo, A. Fernández, M. del Jesús, L. Sánchez, and F. Herrera, "Keel 3.0: An open source software for multi-stage analysis in data mining," *Int. J. Comput. Intell. Syst.*, vol. 10, p. 1238, 2017.
- [14] J. Alcalá-Fdez, A. Fernández, J. Luengo, and J. Derrac, "Keel data-mining software tool: Data set repository, integration of algorithms and experimental analysis framework," *J. Mult.-Valued Log. Soft Comput.*, vol. 17, pp. 255–287, 2011.
- [15] L. Abualigah and A. Diabat, *Advances in Sine Cosine Algorithm: A Comprehensive Survey*. Berlin/Heidelberg, Germany: Springer, 2021, vol. 54.
- [16] A. Gabis, Y. Meraihi, S. Mirjalili, and A. Ramdane-Cherif, *A Comprehensive Survey of Sine Cosine Algorithm: Variants and Applications*. Berlin/Heidelberg, Germany: Springer, 2021, vol. 54.
- [17] Q. Askari, I. Younas, and M. Saeed, "Critical evaluation of sine cosine algorithm and a few recommendations," in *Proceedings of the 2020 Genetic and Evolutionary Computation Conference Companion*, Cancún, Mexico, 2020, pp. 319–320.
- [18] N. Aziz, Z. Ibrahim, N. Aziz, M. Mohamad, and J. Watada, "Single-solution simulated kalman filter algorithm for global optimisation problems," *Sadhanā*, vol. 43, p. 103, 2018.
- [19] T. Rahman, Z. Ibrahim, N. Aziz, S. Zhao, and N. Aziz, "Single-agent finite impulse response optimizer for numerical optimization problems," *IEEE Access*, vol. 6, pp. 9358–9374, 2018.